

# Finding ideal points from an ideal triangulation

蒲谷 祐一 (東工大 理工学研究科数学専攻)

2008年8月8日

## 0. 背景

$N$  : 境界が(1つの)トーラスである compact orientable 3-manifold.  
(e.g. knot complement)

$X(N) = \text{Hom}(\pi_1(N), \text{PSL}(2, \mathbb{C})) / \sim$  : character variety

$X(N)$  の“無限遠点”を *ideal point* という.

$X(N)$  の ideal point.



- Incompressible surface とその boundary slope がわかる.
- Culler-Shalen norm が求まる:
  - Cyclic (finite) surgeryについての情報が得られる.

$X(N)$  の ideal point は 3-manifold  $N$  の重要な情報を持つ.

$X(N)$  は基本群  $\pi_1(N)$  の表示を用いることにより，ある方程式系の解として記述できる. しかしながらその方程式系は非常に複雑なものになってしまう. さらにその方程式系から ideal point を見つける事は難しい.

## 動機

Ideal point を多様体の組み合わせ的な情報から直接求めたい.

# 1. The character variety of a 3-manifold

$N$  : a compact 3-manifold

$$R(N) = \text{Hom}(\pi_1(N), \text{PSL}(2, \mathbb{C}))$$

$\text{PSL}(2, \mathbb{C})$  は  $R(N)$  に conjugation で作用する.  $X(N)$  を  $R(N)$  の  $\text{PSL}(2, \mathbb{C})$  作用による algebraic quotient とする.

$$( X(N) = R(N) // \text{PSL}(2, \mathbb{C}) )$$

$X(N)$  を  $N$  の *character variety* と呼ぶ.

**Fact 1**  $X(N)$  は *affine algebraic set* となり *quotient map*  $t : R(N) \rightarrow X(N)$  は *regular*.  $\gamma \in \pi_1(N)$  に対し,  $\text{tr}(\rho(\gamma))$  ( $[\rho] \in X(N)$ ) は  $X(N)$  上の *regular function* になる.

## 2. Ideal points and valuations

$C$  : an affine algebraic curve.

$\widetilde{C}$  :  $C$  に双有理同値な projective smooth curve.

$\widetilde{C} - C$  の点を *ideal points* と呼ぶ. 直感的にいふと ideal point とは  $C$  の‘無限遠点’である.

## Valuations

$\mathbb{C}(C)$  を  $C$  の function field とする.  $\mathbb{C}(C)$  の (discrete) *valuation* とは写像  $v : \mathbb{C}(C) - \{0\} \rightarrow \mathbb{Z}$  で次の条件を満たすものである

1.  $v(xy) = v(x) + v(y),$
2.  $v(x + y) \geq \min(v(x), v(y))$  for all  $x, y \in \mathbb{C}(C),$

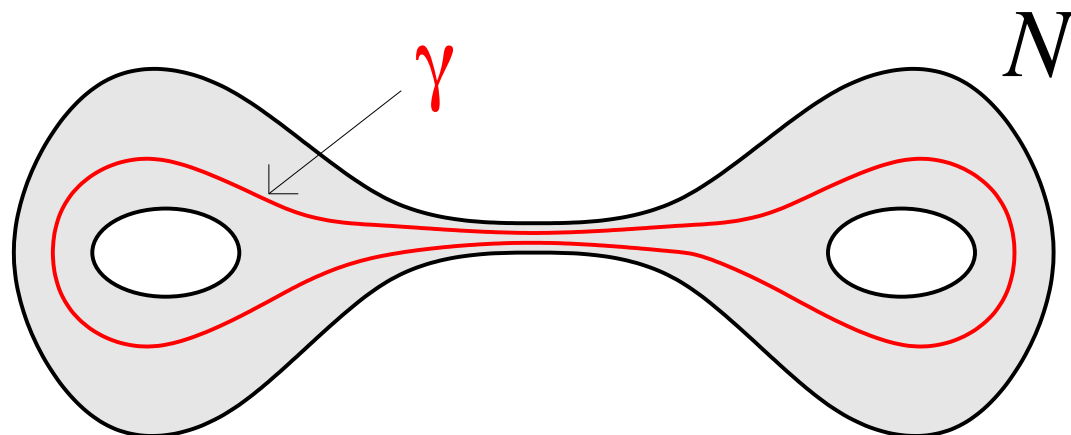
$p$  を  $\widetilde{C}$  の点とする.  $p$  での局所座標  $t$  をとる.  $f \in \mathbb{C}(C)$  は  $a \in \mathbb{C}(C), a(p) \neq 0$  を用いて  $f = at^n$  と書ける.  $p$  に付随する valuation  $v$  を  $v(f) = n$  で定義できる. このようにして  $\widetilde{C}$  の点と  $\mathbb{C}(\widetilde{C})$  上の valuation が 1 対 1 に対応する.

## Geometric meaning of ideal point

$x \in \widetilde{C}$  : an ideal point of  $C \subset X(N)$

$[\rho_i] \in C \subset X(N)$  : a sequence of points s.t.  $[\rho_i] \rightarrow x$

このとき, ある loop  $\gamma \in \pi_1(N)$  に対して  $\text{tr}(\rho_i(\gamma))$  は発散する.

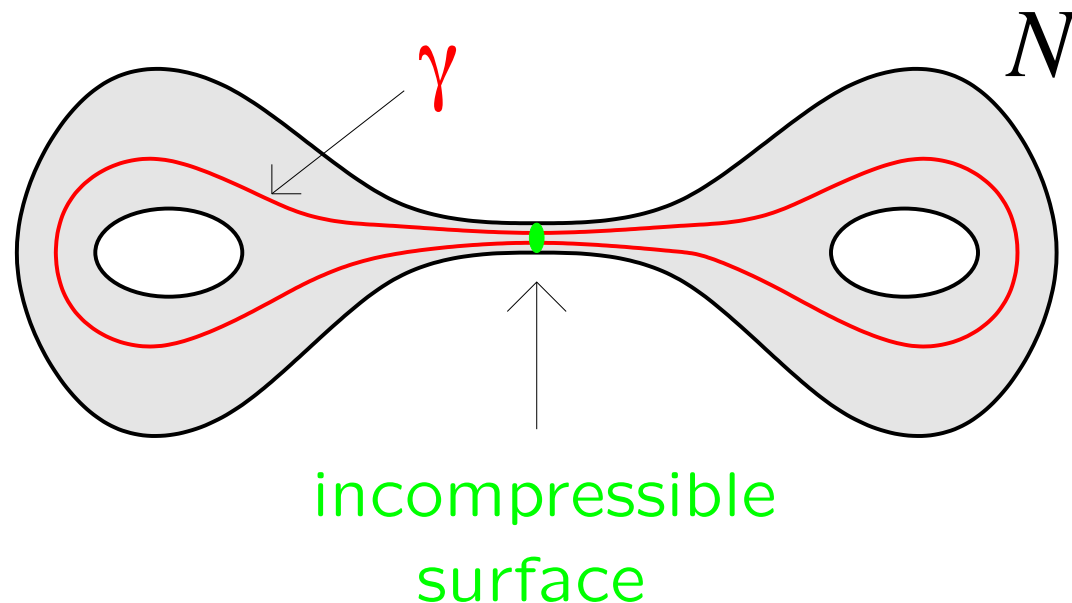


## Geometric meaning of ideal point

$x \in \widetilde{C}$  : an ideal point of  $C \subset X(N)$

$[\rho_i] \in C \subset X(N)$  : a sequence of points s.t.  $[\rho_i] \rightarrow x$

このとき, ある loop  $\gamma \in \pi_1(N)$  に対して  $\text{tr}(\rho_i(\gamma))$  は発散する.



## Definition

A properly embedded orientable surface  $S \subset N$  is called *in-compressible* if  $\pi_1(S) \rightarrow \pi_1(N)$  is injective.  $\partial S \subset \partial N$  is called *boundary slope*.

## Theorem(Culler-Shalen)

For each ideal point of a curve of  $X(N)$ , we can construct an incompressible surface.

## Known results

- Two-bridge knot complement の場合には Ohtsuki によりすべての ideal point が求められている.
- A-polynomial という 2 変数多項式が計算されているときには  $X(N)$  の ideal point を求める事は簡単である. A-polynomial の Newton polygon の各 face に対応して  $X(N)$  の ideal point が存在する事が知られている. しかしながら一般に A-polynomial の計算は非常に難しい.

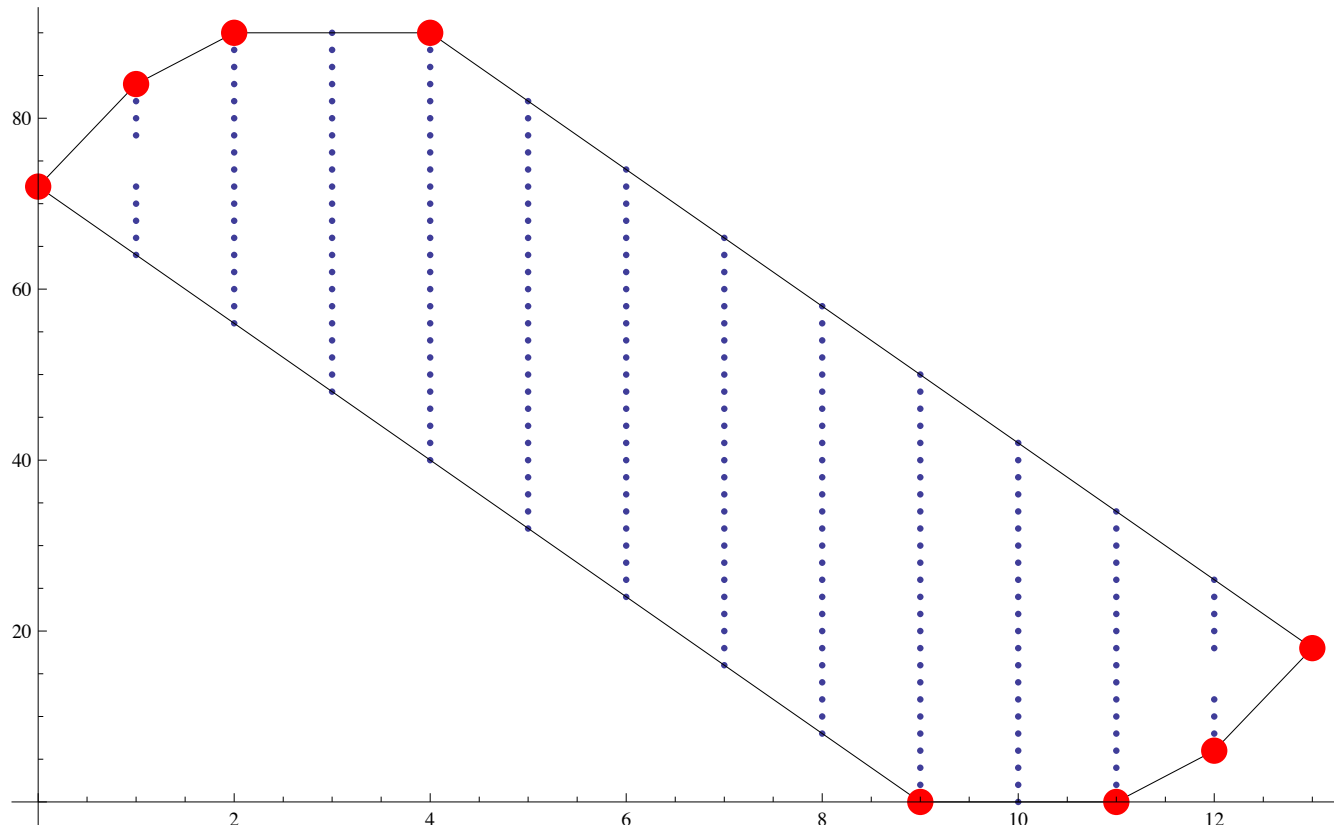
例えば,  $10_4$ -knot の A-polynomial は,

$$A_{10_4}(L, M) =$$

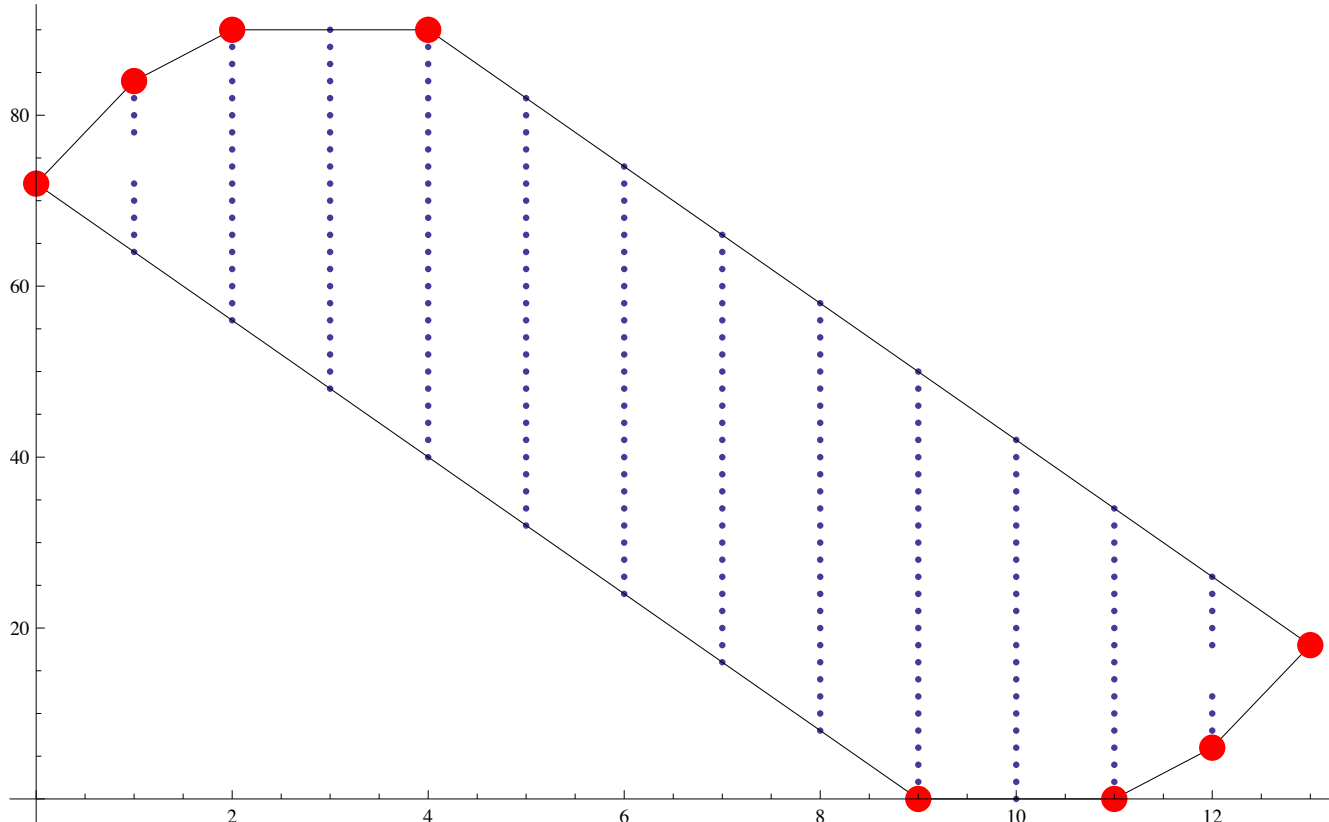
例えば、 $10_4$ -knot の A-polynomial は、

$$\begin{aligned}
A_{10_4}(L, M) = & M^{72} + L(-9M^{64} + 17M^{66} + 9M^{68} - 8M^{70} + 4M^{72} + 2M^{78} - 3M^{80} + 2M^{82} - M^{84}) + \\
& L^2(36M^{56} - 126M^{58} + 33M^{60} + 202M^{62} - 75M^{64} - 52M^{66} + 90M^{68} - 37M^{70} + 3M^{72} + 35M^{74} - 30M^{76} - \\
& 10M^{78} + 15M^{80} - 8M^{82} + 3M^{84} - 3M^{86} + 3M^{88} - M^{90}) + L^3(-84M^{48} + 406M^{50} - 382M^{52} - 762M^{54} + \\
& 1043M^{56} + 601M^{58} - 941M^{60} + 154M^{62} + 466M^{64} - 215M^{66} + 74M^{68} + 16M^{70} - 153M^{72} + 81M^{74} - 23M^{76} - \\
& 11M^{78} + 26M^{80} - 5M^{82} - 16M^{84} + 19M^{86} - 10M^{88} + 2M^{90}) + L^4(126M^{40} - 742M^{42} + 1119M^{44} + 1145M^{46} - \\
& 3579M^{48} - 579M^{50} + 4865M^{52} - 455M^{54} - 3019M^{56} + 1125M^{58} + 1368M^{60} + 83M^{62} - 414M^{64} - 801M^{66} + \\
& 338M^{68} + 390M^{70} - 299M^{72} - 70M^{74} + 195M^{76} - 80M^{78} - 13M^{80} + 4M^{82} + 21M^{84} - 19M^{86} + 7M^{88} - M^{90}) + \\
& L^5(-126M^{32} + 840M^{34} - 1650M^{36} - 691M^{38} + 5456M^{40} - 1609M^{42} - 9172M^{44} + 4253M^{46} + 8723M^{48} - \\
& 3703M^{50} - 4963M^{52} + 2030M^{54} + 4235M^{56} + 938M^{58} - 4105M^{60} - 1534M^{62} + 3017M^{64} + 491M^{66} - 1783M^{68} + \\
& 377M^{70} + 569M^{72} - 291M^{74} - 135M^{76} + 177M^{78} - 66M^{80} + 9M^{82}) + L^6(84M^{24} - 602M^{26} + 1391M^{28} - 60M^{30} - \\
& 4273M^{32} + 3336M^{34} + 7458M^{36} - 8485M^{38} - 8520M^{40} + 9533M^{42} + 7490M^{44} - 5697M^{46} - 5824M^{48} + \\
& 3647M^{50} + 8652M^{52} - 2065M^{54} - 9238M^{56} + 2013M^{58} + 6185M^{60} - 2615M^{62} - 2243M^{64} + 1709M^{66} + \\
& 288M^{68} - 678M^{70} + 266M^{72} - 36M^{74}) + L^7(-36M^{16} + 266M^{18} - 678M^{20} + 288M^{22} + 1709M^{24} - 2243M^{26} - \\
& 2615M^{28} + 6185M^{30} + 2013M^{32} - 9238M^{34} - 2065M^{36} + 8652M^{38} + 3647M^{40} - 5824M^{42} - 5697M^{44} + \\
& 7490M^{46} + 9533M^{48} - 8520M^{50} - 8485M^{52} + 7458M^{54} + 3336M^{56} - 4273M^{58} - 60M^{60} + 1391M^{62} - 602M^{64} + \\
& 84M^{66}) + L^8(9M^8 - 66M^{10} + 177M^{12} - 135M^{14} - 291M^{16} + 569M^{18} + 377M^{20} - 1783M^{22} + 491M^{24} + 3017M^{26} - \\
& 1534M^{28} - 4105M^{30} + 938M^{32} + 4235M^{34} + 2030M^{36} - 4963M^{38} - 3703M^{40} + 8723M^{42} + 4253M^{44} - 9172M^{46} - \\
& 1609M^{48} + 5456M^{50} - 691M^{52} - 1650M^{54} + 840M^{56} - 126M^{58}) + L^9(-1 + 7M^2 - 19M^4 + 21M^6 + 4M^8 - \\
& 13M^{10} - 80M^{12} + 195M^{14} - 70M^{16} - 299M^{18} + 390M^{20} + 338M^{22} - 801M^{24} - 414M^{26} + 83M^{28} + 1368M^{30} + \\
& 1125M^{32} - 3019M^{34} - 455M^{36} + 4865M^{38} - 579M^{40} - 3579M^{42} + 1145M^{44} + 1119M^{46} - 742M^{48} + 126M^{50}) + \\
& L^{10}(2 - 10M^2 + 19M^4 - 16M^6 - 5M^8 + 26M^{10} - 11M^{12} - 23M^{14} + 81M^{16} - 153M^{18} + 16M^{20} + 74M^{22} - 215M^{24} + \\
& 466M^{26} + 154M^{28} - 941M^{30} + 601M^{32} + 1043M^{34} - 762M^{36} - 382M^{38} + 406M^{40} - 84M^{42}) + L^{11}(-1 + 3M^2 - \\
& 3M^4 + 3M^6 - 8M^8 + 15M^{10} - 10M^{12} - 30M^{14} + 35M^{16} + 3M^{18} - 37M^{20} + 90M^{22} - 52M^{24} - 75M^{26} + 202M^{28} + \\
& 33M^{30} - 126M^{32} + 36M^{34}) + L^{12}(-M^6 + 2M^8 - 3M^{10} + 2M^{12} + 4M^{18} - 8M^{20} + 9M^{22} + 17M^{24} - 9M^{26}) + L^{13}(M^{18}).
\end{aligned}$$

$A_{104}$  の Newton polygon は

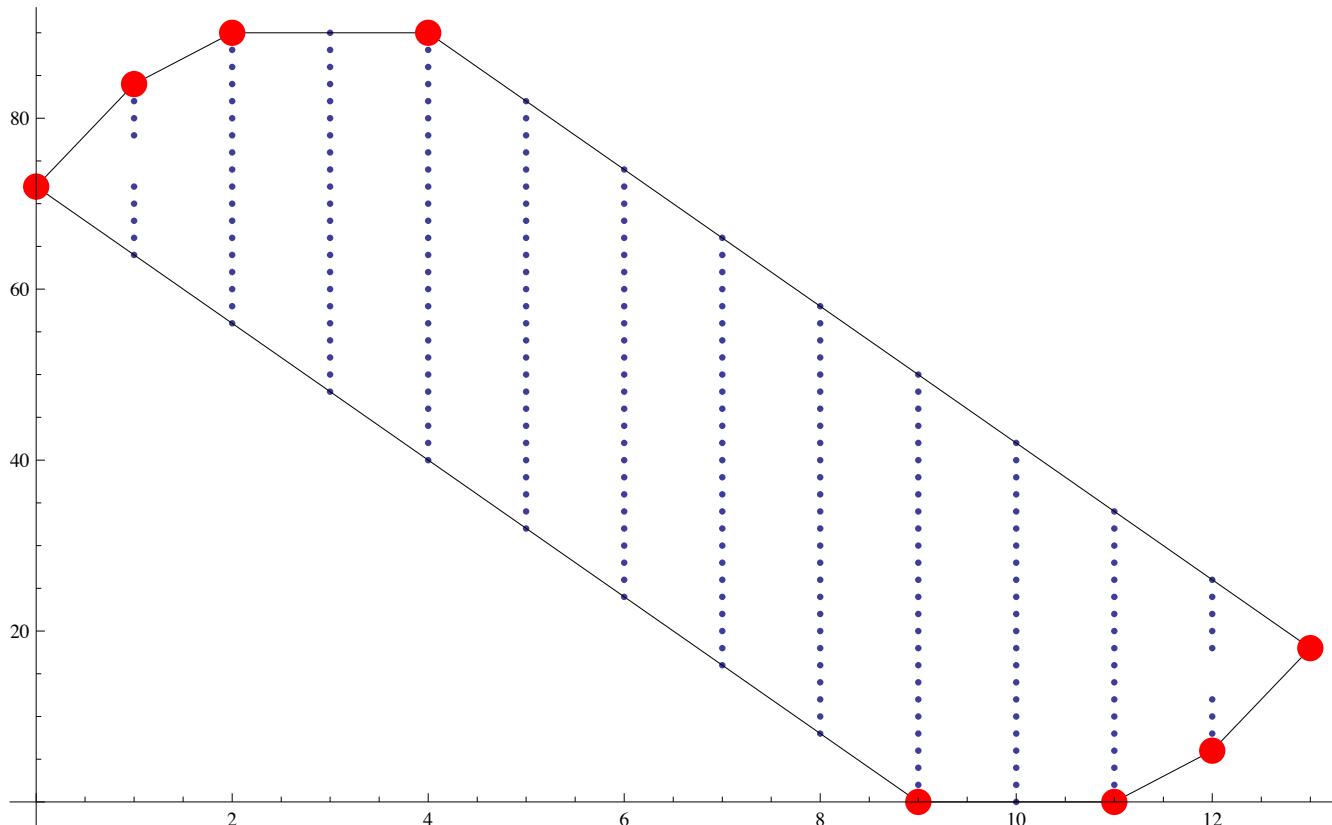


$A_{104}$  の Newton polygon は



Boundary slope  $-12, -6, 0, 8$  に対応する  
ideal point が存在す  
る。

$A_{104}$  の Newton polygon は



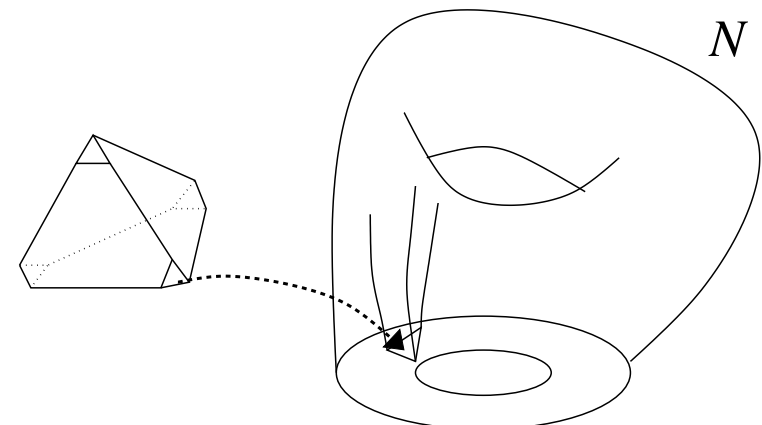
Boundary slope  $-12, -6, 0, 8$  に対応する  
ideal point が存在す  
る。

$N$  の組み合わせ的な情報からこの polygon を得たい。

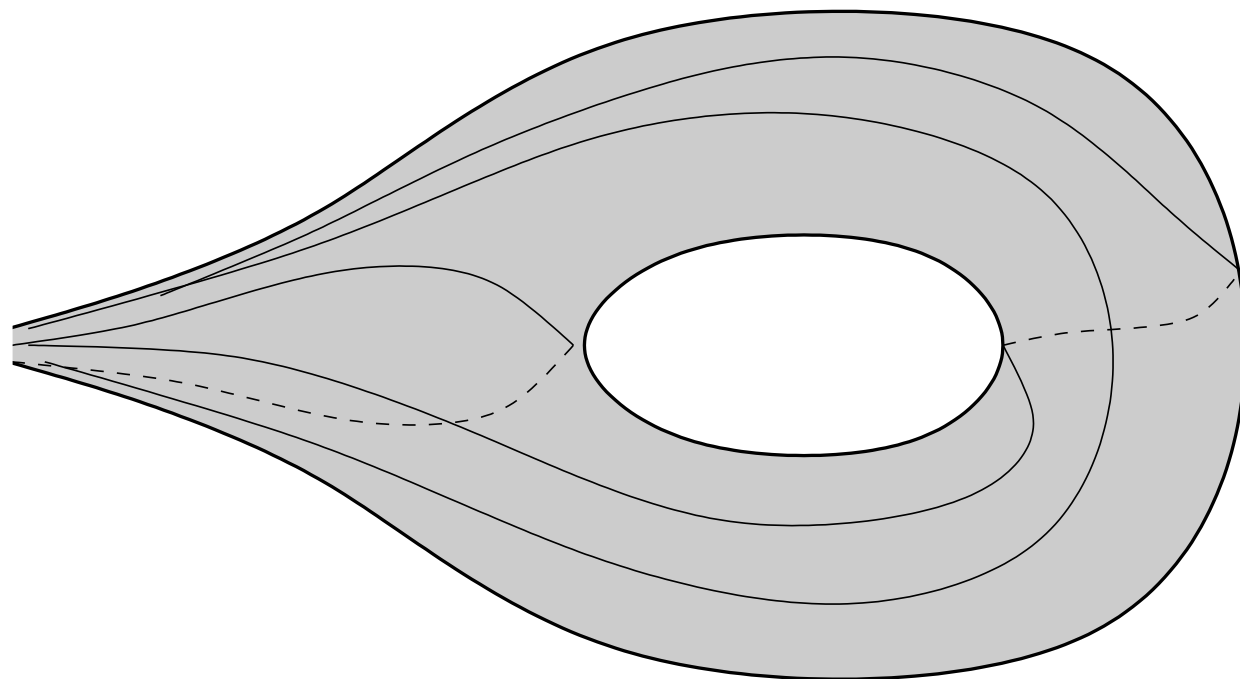
### 3. Ideal triangulation

**Definition 2**  $N$  の (topological) *ideal triangulation* とは有限個の 3-simplex を各面でペアで張り合わせて作られる cell complex  $K$  で  $K - Nbd(K^{(0)})$  が  $N$  に同相であるもの.

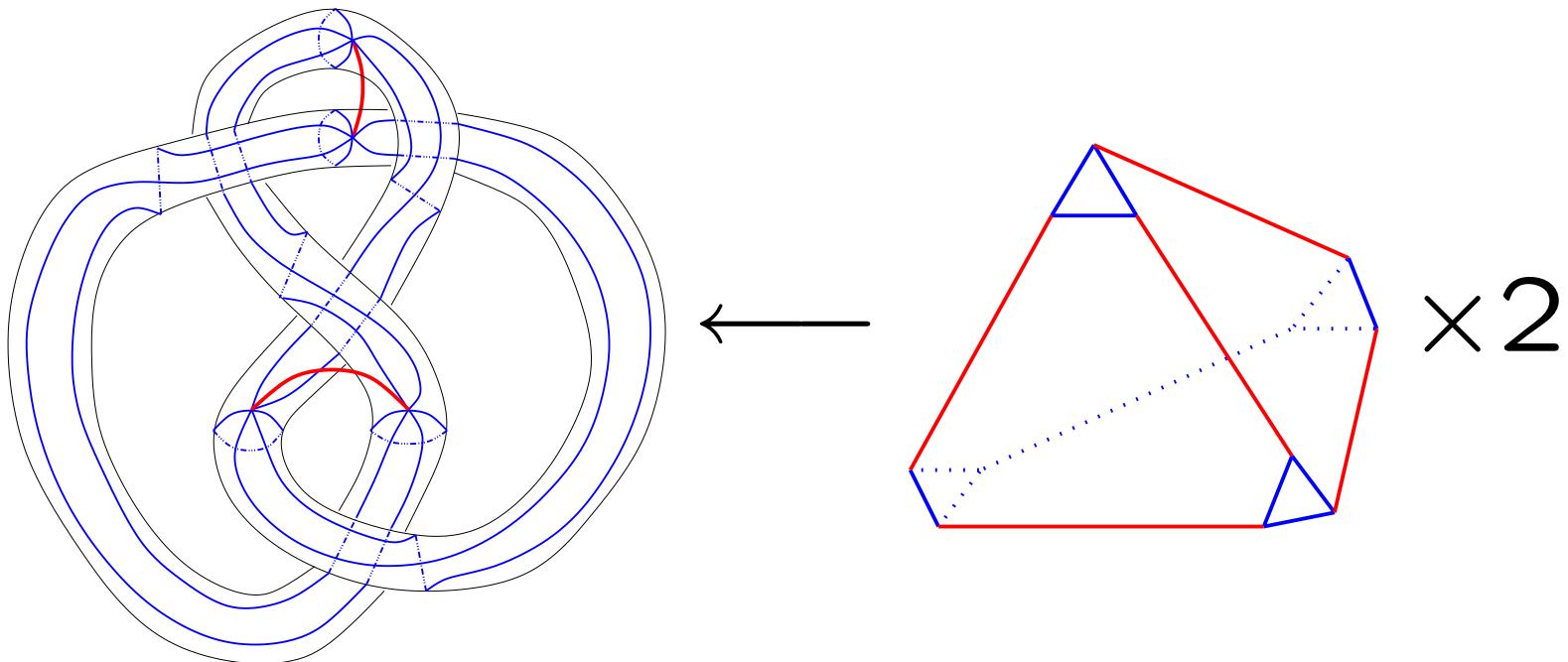
Ideal triangulation とは頂点を切り取った 3-simplex の組み合わせとして  $N$  を表す事である.



## 2-dimensional case



# Example: Complement of the figure eight knot

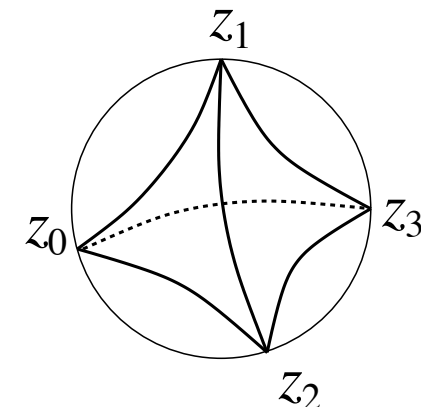


## 4. Complex parameter of ideal tetrahedron

$\mathbb{H}^3 = \{(x, y, t) | t > 0\}$  : the upper-half space model of  $\mathbb{H}^3$

$\mathbb{H}^3$  の ideal boundary は  $\mathbb{C}P^1$  で記述される.

(Geometric) *ideal tetrahedron* とは  $\mathbb{C}P^1$  の互いに異なる 4 点  $(z_0, z_1, z_2, z_3)$  の  $\mathbb{H}^3$  の中での convex hull とする.



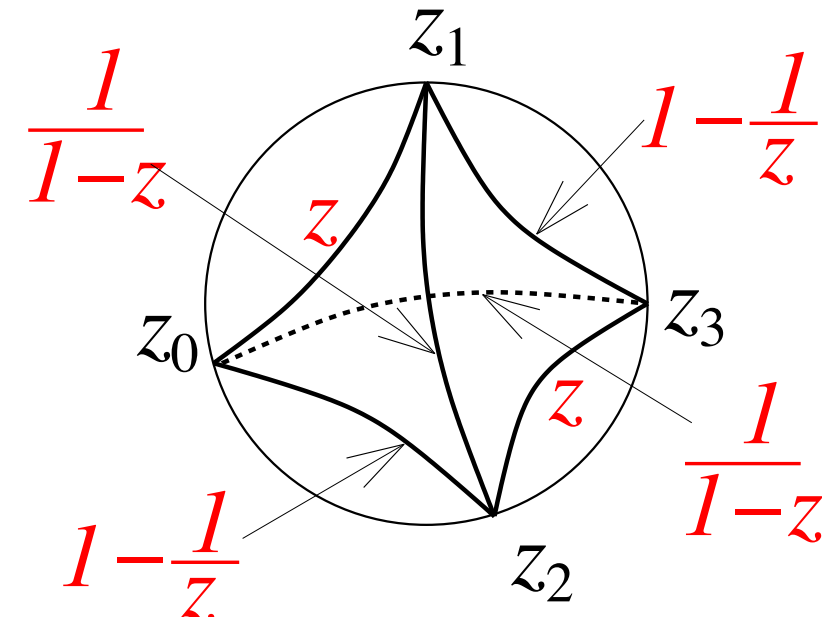
Ideal tetrahedron の形は cross ratio を用いることにより, ある複素数で parametrize される. 辺  $(z_0, z_1), (z_2, z_3)$  に対し, 複素数

$$z = [z_0 : z_1 : z_2 : z_3] = \frac{(z_2 - z_1)(z_3 - z_0)}{(z_2 - z_0)(z_3 - z_1)}.$$

を対応させる. ここで  $(0, 1, 2, 3)$  は tetrahedron の向きに一致する順でとる. 定義より  $z \neq 0, 1, \infty$  となる.

辺  $(z_1, z_2)$ ,  $(z_0, z_3)$  に対しては complex parameter は  $\frac{1}{1-z}$  となる.

辺  $(z_1, z_3)$ ,  $(z_0, z_2)$  に対しては complex parameter は  $1 - 1/z$  となる.



## 5. Deformation variety $\mathcal{D}(M)$

$K$  : an ideal triangulation of  $N$

各 ideal tetrahedron に complex parameter を定めておく.

$$K = \Delta(z_1) \cup \cdots \cup \Delta(z_n)$$

1つの ideal tetrahedron  $\Delta(z_1)$  を  $\mathbb{H}^3$  に置く. これを  $D(\Delta(z_1))$  とする. 次に  $\Delta(z_2)$  に ( $K$  の中で) 隣り合う tetrahedron  $\Delta(z_2)$  を  $\mathbb{H}^3$  の中で  $D(\Delta(z_1))$  と隣り合うように置く. この構成を繰り返すことにより, map  $D : K - \widetilde{K}^{(1)} \rightarrow \mathbb{H}^3$  が得られる.

$D$  を  $D : K - \widetilde{K}^{(0)} \rightarrow \mathbb{H}^3$  に拡張するために *gluing equations* を導入する.

$K$  の 1-simplex  $e_k$  に対し,  $e_k$  に隣接する ideal tetrahedron の辺が存在する. これらの隣接する ideal tetrahedron の complex parameter の積を  $R_k$  とする:

$$\begin{aligned} R_k &= \prod_{j=1}^n (z_j)^{p_{k,j}} \left( \frac{1}{1-z_j} \right)^{p'_{k,j}} \left( 1 - \frac{1}{z_j} \right)^{p''_{k,j}} \\ &= \prod_{j=1}^n (-1)^{p''_{k,j}} (z_j)^{r'_{k,j}} (1-z_j)^{\nu^{r''_{k,j}}} \\ &\quad (r'_{k,j} = p_{k,j} - p''_{k,j}, \quad r''_{k,j} = p''_{k,j} - p'_{k,j}). \end{aligned}$$

これらの方程式  $R_k = 1 (k = 1, \dots, n)$  を *gluing equations* と呼ぶ.  $(z_1, \dots, z_n)$  が gluing equations をみたすとき, 上で構成した  $D$  は  $D : K - K^{(0)} \cong \widetilde{N} \rightarrow \mathbb{H}^3$  に拡張する. この map を *developing map* とよぶ.

$\Delta(z_1)$  を  $K$  のある ideal tetrahedron とする.  $\gamma \in \pi_1(N) \cong \pi_1(K - K^{(0)})$  に対し,  $D(\Delta(z_1))$  と  $D(\gamma\Delta(z_1))$  は  $\mathbb{H}^3$  の中の互いに isometric な ideal tetrahedron である.  $\mathbb{C}P^1$  の互いに異なる 3 点を他の互いに異なる 3 点に写す  $\text{PSL}(2, \mathbb{C})$  の元は一意に定まるので,  $g(D(\gamma\Delta(z_1))) = D(\Delta(z_1))$  となる  $g \in \text{PSL}(2, \mathbb{C})$  が一意に定まる.

この map を *holonomy representation*  $\pi_1(N) \rightarrow \text{PSL}(2, \mathbb{C})$  とよぶ.

$$\mathcal{D}(N, K) (= \mathcal{D}(N))$$

$$= \{(z_1, \dots, z_n) \in (\mathbb{C} - \{0, 1\})^n \mid R_1(z) = 1, \dots, R_{n-1}(z) = 1\} \quad (1)$$

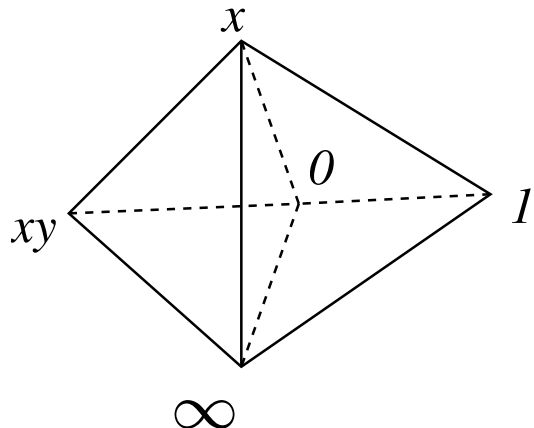
と置く.  $\mathcal{D}(N)$  を *deformation variety* と呼ぶことにする. 前述の developing map とその holonomy representation を用いることにより, 表現  $\mathcal{D}(N) \rightarrow X(N)$  が構成できる.

**Fact** この map  $\mathcal{D}(N) \rightarrow X(N)$  は algebraic.

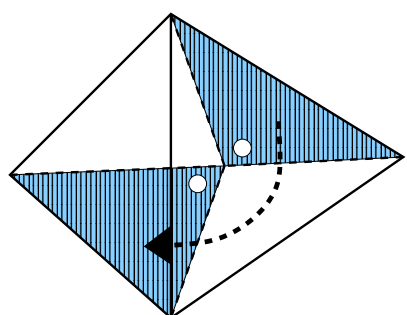
この事実から  $\mathcal{D}(N)$  の ideal point を通して  $X(N)$  の ideal point を研究する事ができる.

## Example (figure eight knot complement)

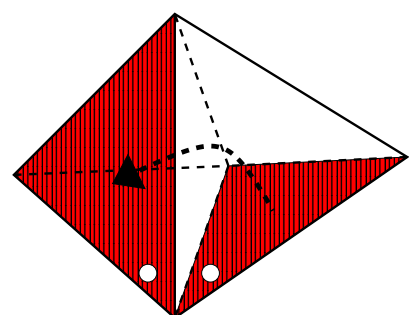
$4_1$  knot complement の 2 つの ideal tetrahedron  $\Delta(x), \Delta(y)$  を  
次のように  $\mathbb{H}^3$  に置く：



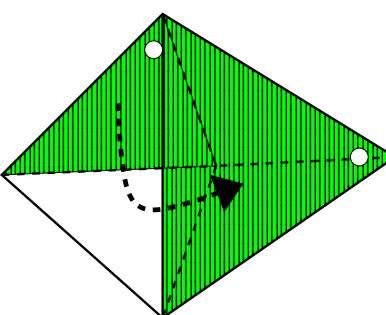
基本群の生成元は次の face の張り合わせで与えられる：



$x_1$



$x_2$



$x_3$

これらの生成元は次の relation をみたす:

$$\pi_1(S^3 - 4_1) \cong \langle x_1, x_2, x_3 | x_3 x_2 x_3^{-1} x_1^{-1} = 1, x_2^{-1} x_1 x_2 x_1^{-1} x_3^{-1} = 1 \rangle.$$

対応する表現は次で与えられる:

$$\begin{aligned}\rho(x_1) &= \frac{\pm 1}{\sqrt{y(1-x)}} \begin{pmatrix} -y(1-x) & 0 \\ 1 & -1 \end{pmatrix} \\ \rho(x_2) &= \frac{\pm 1}{\sqrt{x(1-y)}} \begin{pmatrix} x(1-y) & xy \\ 0 & 1 \end{pmatrix}.\end{aligned}$$

Gluing equation は

$$xy(1-x)(1-y) = 1.$$

## Remark

$\mathcal{D}(N)$  は  $(\mathbb{C} - \{0, 1\})^n$  の中で  $n - 1$ -個の方程式の解として得られる。よって  $\mathcal{D}(N)$  の次元は 1 以上になる。従って  $\mathcal{D}(N)$  は algebraic curve を含む。(Culler-Shalen theory を適用できる。)

境界の torus  $\partial N$  で  $H_1(\partial N; \mathbb{Z})$  の生成元  $\mathcal{M}, \mathcal{L}$  を定める. 次の性質をみたす整数の組  $(m'_i, m''_i)$  and  $(l'_i, l''_i)$  が定まる:

$$M = \pm \prod_{j=1}^n z_j^{m'_j} (1 - z_j)^{m''_j}, \quad L = \pm \prod_{j=1}^n z_j^{l'_j} (1 - z_j)^{l''_j}.$$

と置くと,  $M$  と  $L$  はそれぞれ  $\rho(\mathcal{M})$  と  $\rho(\mathcal{L})$  の固有値の 2 乗と一致する ( $\rho$  は holonomy representation).  $\pi_1(\partial N)$  の可換性により, 適当な conjugation をとって

$$\rho(\mathcal{M}) = \begin{pmatrix} \sqrt{M} & * \\ 0 & \sqrt{M}^{-1} \end{pmatrix}, \quad \rho(\mathcal{L}) = \begin{pmatrix} \sqrt{L} & * \\ 0 & \sqrt{L}^{-1} \end{pmatrix}.$$

とできる.  $m = (m'_1, m''_1, \dots, m_n, m''_n)$ ,  $l = (l'_1, l''_1, \dots, l'_n, l''_n)$  と定める.

## Notation

$x = (x'_1, \dots, x'_n, x''_1, \dots, x''_n), y = (y'_1, \dots, y'_n, y''_1, \dots, y''_n) \in \mathbb{R}^{2n}$ . Wedge 積を

$$x \wedge y = \sum_{j=1}^n x'_j y''_j - x''_j y'_j.$$

で定める.

$$r_k = (r'_{k,1}, r''_{k,1}, \dots, r'_{k,n}, r''_{k,n})$$

とし  $[R] = \text{span}_{\mathbb{R}} \langle r_1, \dots, r_{n-1} \rangle$  とする.  $[R]$  の  $\wedge$  に関する orthogonal complement を  $[R]^{\perp}$  で表す.

## 6. Ideal points of $\mathcal{D}(N)$

$p$  を  $\mathcal{D}(N)$  の ideal point とし  $v$  を対応する valuation とする. このとき  $v$  は次をみたす

$$\begin{aligned} 0 &= v(1) = v(R_k) = v(\pm \prod_{j=1}^n (z_j)^{r'_{k,j}} (1-z_j)^{r''_{k,j}}) \\ &= \sum_{j=1}^n \left( r'_{k,j} v(z_j) + r''_{k,j} v(1-z_j) \right) \\ &= (r'_1, r''_1, \dots, r'_n, r''_n) \wedge (-v(1-z_1), v(z_1), \dots, -v(1-z_n), v(z_n)). \end{aligned} \tag{2}$$

この方程式 (2) から

$$(-v(1-z_1), v(z_1), \dots, -v(1-z_n), v(z_n)) \in [R]^\perp$$

となる.

また  $(v(z_j), v(1 - z_j))$  は  $\mathcal{D}(N)$  の ideal point において次のように  
ふるまう:

$$(v(z_j), v(1 - z_j)) = \begin{cases} (0, c) & \text{if } z_j \rightarrow 1 \\ (c, 0) & \text{if } z_j \rightarrow 0 \\ (-c, -c) & \text{if } z_j \rightarrow \infty. \end{cases}$$

$c$  はある正の整数. 従って  $(v(1 - z_1), -v(z_1), \dots, v(1 - z_n), -v(z_n))$   
は

$$[R]^\perp \cap \left\{ \mathbb{R}_{\geq 0}(1, 0) \cup \mathbb{R}_{\geq 0}(0, -1) \cup \mathbb{R}_{\geq 0}(-1, 1) \right\}^n \quad (3)$$

という集合の中に含まれる.

$I = (i_1, \dots, i_n) \in \{1, 0, \infty\}^n$  と置き *degeneration index* とよぶ.  $I$  は各 ideal tetrahedron  $\Delta(z_j)$  の退化の様子を表す ( $z_j \rightarrow 1, 0, \infty$ ) .  $I$  に対し

$$r(I)_{k,j} = \begin{cases} r''_{k,j} & \text{if } i_j = 1 \\ r'_{k,j} & \text{if } i_j = 0 \\ -r'_{k,j} - r''_{k,j} & \text{if } i_j = \infty \end{cases}$$

とする.  $r(I)_{k,j}$  は  $j$ -番目からの  $e_k$  への主要な寄与を記述している.

$I = (i_1, \dots, i_n) \in \{1, 0, \infty\}^n$  と置き *degeneration index* とよぶ.  $I$  は各 ideal tetrahedron  $\Delta(z_j)$  の退化の様子を表す ( $z_j \rightarrow 1, 0, \infty$ ) .  $I$  に対し

$$r(I)_{k,j} = \begin{cases} r''_{k,j} & \text{if } i_j = 1 \\ r'_{k,j} & \text{if } i_j = 0 \\ -r'_{k,j} - r''_{k,j} & \text{if } i_j = \infty \end{cases}$$

とする.  $r(I)_{k,j}$  は  $j$ -番目からの  $e_k$  への主要な寄与を記述している.

$$(z_j)^{r'_{k,j}} (1 - z_j)^{r''_{k,j}} \quad z_j \rightarrow 1$$

$I = (i_1, \dots, i_n) \in \{1, 0, \infty\}^n$  と置き *degeneration index* とよぶ.  $I$  は各 ideal tetrahedron  $\Delta(z_j)$  の退化の様子を表す ( $z_j \rightarrow 1, 0, \infty$ ) .  $I$  に対し

$$r(I)_{k,j} = \begin{cases} r''_{k,j} & \text{if } i_j = 1 \\ \color{red}{r'_{k,j}} & \text{if } i_j = 0 \\ -r'_{k,j} - r''_{k,j} & \text{if } i_j = \infty \end{cases}$$

とする.  $r(I)_{k,j}$  は  $j$ -番目からの  $e_k$  への主要な寄与を記述している.

$$(z_j)^{r'_{k,j}} (1 - z_j)^{r''_{k,j}} \quad z_j \rightarrow 0$$

$I = (i_1, \dots, i_n) \in \{1, 0, \infty\}^n$  と置き *degeneration index* とよぶ.  $I$  は各 ideal tetrahedron  $\Delta(z_j)$  の退化の様子を表す ( $z_j \rightarrow 1, 0, \infty$ ) .  $I$  に対し

$$r(I)_{k,j} = \begin{cases} r''_{k,j} & \text{if } i_j = 1 \\ r'_{k,j} & \text{if } i_j = 0 \\ -r'_{k,j} - r''_{k,j} & \text{if } i_j = \infty \end{cases}$$

とする.  $r(I)_{k,j}$  は  $j$ -番目からの  $e_k$  への主要な寄与を記述している.

$$(z_j)^{r'_{k,j}} (1 - z_j)^{r''_{k,j}} \quad z_j \rightarrow \infty$$

$$R(I) = \begin{pmatrix} r(I)_{1,1} & \dots & r(I)_{1,n} \\ \vdots & & \vdots \\ r(I)_{n-1,1} & \dots & r(I)_{n-1,n} \end{pmatrix},$$

とし

$$d(I)_j = (-1)^{j+1} \det \begin{pmatrix} r(I)_{1,1} & \dots & \widehat{r(I)_{1,j}} & \dots & r(I)_{1,n} \\ \vdots & & \vdots & & \vdots \\ r(I)_{n-1,1} & \dots & \widehat{r(I)_{n-1,j}} & \dots & r(I)_{n-1,n} \end{pmatrix}$$

とする ( hat はその列を除く事を意味する) . 次に *degeneration vector* を次で定める.

$$d(I) = (d(I)_1, d(I)_2, \dots, d(I)_n) \in \mathbb{Z}^n \subset \mathbb{R}^n.$$

$\rho_1 = (1, 0)$ ,  $\rho_0 = (0, -1)$  and  $\rho_\infty = (-1, 1)$  とおく.

$$S(I) = \{(t_1\rho_{i_1}, \dots, t_n\rho_{i_n}) | t_j \in \mathbb{R}\} \subset \mathbb{R}^{2n},$$

$$H(I) = \{(t_1\rho_{i_1}, \dots, t_n\rho_{i_n}) | t_j \in \mathbb{R}, t_j \geq 0\} \subset \mathbb{R}^{2n}.$$

(3) の necessary condition は次に等しい.

$$(v(1-z_1), -v(z_1), \dots, v(1-z_n), -v(z_n)) \in \bigcup_I H(I) \cap [R]^\perp.$$

次の事実は線形代数からすぐ分かる.

$$(d(I)_1\rho_{i_1}, d(I)_{i_2}\rho_2, \dots, d(I)_n\rho_{i_n}) \in [R]^\perp \cap S(I)$$

もし  $d(I)$  のすべての係数が非負ならばこのベクトルは necessary condition (3) を満たす.

この necessary condition は次の論文の中で与えられている.

T. Yoshida, *On ideal points of deformation curves of hyperbolic 3-manifolds with one cusp*, Topology 30 (1991), no. 2, 155–170.

次の条件は  $d(I)$  に対応する ideal point が存在するためのある sufficient condition を与える.

**Theorem 3 (K.)**  $I = (i_1, \dots, i_n)$  を  $\{1, 0, \infty\}^n$  の元とする.  $d(I)$  のすべての係数が正 (すべての係数が負) のとき  $d(I)$  に対応する  $\mathcal{D}(N)$  の ideal point が存在する. 対応する ideal point の数は  $\gcd(d(I)_1, \dots, d(I)_n)$  に等しい.

## Remark

$v(M)$  と  $v(L)$  は次の式で簡単に求まる.

$$|v(M)| = |m \wedge x|, \quad |v(L)| = |l \wedge x|$$

ここで  $x = (d'_1 \rho_{i_1}, \dots, d'_n \rho_{i_n}) \in \mathbb{Z}^{2n}$ . 実際

$$v(M) = v\left(\prod_{j=1}^n z_j^{m'_j} (1 - z_j)^{m''_j}\right) = m \wedge x.$$

もし  $m \wedge x$  か  $l \wedge x$  nonzero なら  $\mathcal{M}$  か  $\mathcal{L}$  の character は発散するので  $v$  は  $X(N)$  の ideal point に対応する. このときさらに  $v(M^p L^q) = 0$  なら  $\mathcal{M}^p \mathcal{L}^q$  は ideal point に対応した boundary slope に等しい(Cooper-Culler-Gillet-Long-Shalen).

## Idea of the proof

$d(I) > 0$  と仮定する.  $c = \gcd(d(I)_1, \dots, d(I)_n)$ ,  $d'(I)_j = d(I)_j/c$  と置く.  $\mathcal{D}(N)$  を weighted projective space  $\mathbb{C}P(d'_1, \dots, d'_n, -1)$  に埋め込む. 具体的に

$$1 - z_j = a_j t^{d'_j} \quad \text{if} \quad i_j = 1,$$

$$z_j = a_j t^{d'_j} \quad \text{if} \quad i_j = 0,$$

$$1/z_j = a_j t^{d'_j} \quad \text{if} \quad i_j = \infty$$

と書ける.  $[a_1, \dots, a_n, t] \in \mathbb{C}P(d'_1, \dots, d'_n, -1)$ . ( $[a_1, \dots, a_n, t] \sim [z^{d'_1} a_1, \dots, z^{d'_n} a_n, z^{-1} t]$   $z \in \mathbb{C}^*$ )

このとき gluing equations  $R_k = 1$  は

$$R_k(a_1, \dots, a_n, t) = \prod_{j=1}^n a_j^{r(I)_{k,j}} (1 - a_j t^{d_j})^{\overline{r(I)}_{k,j}} = \pm 1 \quad (k = 1, \dots, n-1) \quad (4)$$

$\mathbb{C}P(d'_1, \dots, d'_n, -1)$  でと書ける. 無限遠で ( $t = 0$  で)

$$\prod_{j=1}^n a_j^{r(I)_{k,j}} = \pm 1 \quad (k = 1, \dots, n-1).$$

行列の基本変形を用いて  $R(I)$  は upper triangular matrix にできる. 結局  $(a_j)^m = 1$  の式に帰着する事が分かる. これらの解が  $\mathcal{D}(N)$  の ideal point を与える事が示せる.

(詳細は arXiv:GT-0706.0971 )

## Final remark

主定理によりすべての  $I = (i_1, \dots, i_n) \in \{1, 0, \infty\}^n$  に対し  $d(I)$  を計算し, 定理の条件を満たすものを見つければ ideal point の存在がいえる. このような計算は computer を用いれば簡単にできる. 特に, 少ない ideal tetrahedron で分割できる census manifolds については有効である.

残念ながら, この方法ですべての ideal point が見つかる訳ではない. 退化しない ideal tetrahedron が存在する ideal point においては今回的方法は適用できない。例えば ideal point に於いて,  $\mathrm{PSL}(2, \mathbb{C})$ -representation の volume が non-zero の時には本質的に適用できない.

**7. Example** The complement of the  $5_2$  knot.

The degeneration indexes  $I$  satisfying the condition of the Theorem are

$$(\infty, \infty, 0), (1, 0, 0), (\infty, 1, \infty), (0, 0, \infty), (1, 1, 1), (0, \infty, 1)$$

and the corresponding degeneration vectors  $d(I)$  are

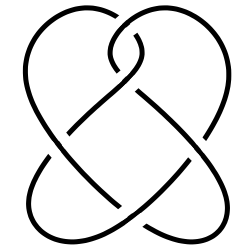
$$(2, 1, 1), (1, 2, 1), (1, 1, 1), (1, 1, 1), (2, 2, 1),$$

respectively.  $(v(M), v(L))$  are

$$(0, 1), (0, -1), (4, 1), (-4, -1), (10, 1), (-10, -1).$$

and the corresponding slopes are

$$0, 0, -4, -4, -10, -10$$



## Some $(-2, p, q)$ -pretzel knots

knot	$I$	$d(I)$	$(v(M), v(L))$	boundary slope
(-2,3,7)- pretzel (m016)	$(\infty, 1, 0)$	$(1, 1, 2)$	$(-1, 16)$	16
	$(\infty, 0, 1)$	$(1, 2, 1)$	$(1, -16)$	16
	$(1, 1, \infty)$	$(1, 2, 2)$	$(-4, 74)$	$37/2$
	$(1, \infty, 1)$	$(1, 2, 2)$	$(4, -74)$	$37/2$
	$(0, \infty, 0)$	$(1, 1, 1)$	$(1, -20)$	20
	$(0, 0, \infty)$	$(1, 1, 1)$	$(-1, 20)$	20
(-2,3,13)- pretzel (v0959)	$(1, \infty, \dots)$	$(1, 5, 1, 1, 3, 7, 7)$	$(-1, 16)$	16
	$(\infty, 0, \dots)$	$(8, 7, 4, 6, 2, 8, 1)$	$(1, -16)$	16
	$(1, \infty, \dots)$	$(1, 6, 2, 8, 4, 8, 9)$	$(-10, 302)$	$151/5$
	$(\infty, \infty, \dots)$	$(1, 1, 5, 7, 3, 8, 1)$	$(10, -302)$	$151/5$
(-2,5,5)- pretzel (v2642)	$(0, 1, \dots)$	$(1, 2, 1, 1, 1, 1, 2)$	$(-1, 14)$	14
	$(\infty, \infty, \dots)$	$(2, 1, 1, 1, 1, 2, 1)$	$(1, -14)$	14
	$(0, 1, \dots)$	$(4, 3, 1, 1, 1, 2, 1)$	$(-2, 30)$	15
	$(\infty, 1, \dots)$	$(4, 1, 3, 4, 2, 6, 1)$	$(2, -30)$	15
	$(\infty, 1, \dots)$	$(1, 4, 2, 4, 3, 1, 6)$	$(-2, 30)$	15
	$(\infty, \infty, \dots)$	$(3, 4, 1, 1, 1, 1, 2)$	$(2, -30)$	15

## Otter knots (alternating non-Montesinos knots)

- $8_{17}$

knot	$I$	$d(I)$	$(v(M), v(L))$	boundary slope
$8_{17}$	$(0, 1, \infty, \dots)$	$-(4, 4, 1, 3, 1, \dots)$	$(-1, -14)$	-14
(12	$(\infty, \infty, 1, \dots)$	$(3, 1, 3, 4, 2, \dots)$	$(1, 14)$	-14
ideal	$(\infty, 0, 0, \dots)$	$(1, 1, 1, 1, 1, \dots)$	$(1, -2)$	2
tet.)	$(0, 0, \infty, \dots)$	$(5, 2, 3, 2, 1, \dots)$	$(-1, 14)$	14
	$(\infty, \infty, 0, \dots)$	$-(3, 3, 4, 3, 1, \dots)$	$(1, -14)$	14

## Otter knots (alternating non-Montesinos knots)

- $8_{17}$

knot	$I$	$d(I)$	$(v(M), v(L))$	boundary slope
$8_{17}$	$(0, 1, \infty, \dots)$	$-(4, 4, 1, 3, 1, \dots)$	$(-1, -14)$	-14
(12 ideal tet.)	$(\infty, \infty, 1, \dots)$ $(\infty, 0, 0, \dots)$ $(0, 0, \infty, \dots)$ $(\infty, \infty, 0, \dots)$	$(3, 1, 3, 4, 2, \dots)$ $(1, 1, 1, 1, 1, \dots)$ $(5, 2, 3, 2, 1, \dots)$ $-(3, 3, 4, 3, 1, \dots)$	$(1, 14)$ $(1, -2)$ $(-1, 14)$ $(1, -14)$	-14 2 14 14

### Fact

- The *diameter* of the boundary slope set  $\text{diam}(K)$  is defined as the maximum distance between boundary slopes. Let  $cr(K)$  be the crossing number of  $K$ . For alternating non-Montesinos knot, we have

$$\text{diam}(K) = 2cr(K). \quad (\text{Ichihara-Mizushima})$$

- $10_{79}, 10_{80}$

knot	$I$	$d(I)$	$(v(M), v(L))$	boundary slope
$10_{79}$	$(0, 1, 1, \dots)$	$(2, 3, 3, \dots)$	$(-3, -10)$	$-10/3$
	$(\infty, 0, \infty, \dots)$	$-(2, 1, 1, \dots)$	$(1, 0)$	$0$
	$(0, \infty, 1, 1, \dots)$	$(1, 1, 1, \dots)$	$(1, 0)$	$0$
	$(0, 1, \infty, \dots)$	$-(1, 1, 2, \dots)$	$(-3, 10)$	$10/3$
	$(\infty, \infty, \infty, \dots)$	$(2, 1, 2, \dots)$	$(1, -6)$	$6$
$10_{80}$	$(0, 0, 0, \dots)$	$-(1, 3, 1, \dots)$	$(-2, -26)$	$-13$
	$(0, \infty, 0, \dots)$	$(1, 1, 1, \dots)$	$(1, 8)$	$-8$
	$(1, 1, 0, \dots)$	$(1, 4, 2, \dots)$	$(3, 20)$	$-20/3$
	$(\infty, 0, \infty, \dots)$	$-(2, 3, 2, \dots)$	$(-3, -20)$	$-20/3$
	$(1, \infty, 0, \dots)$	$(1, 2, 1, \dots)$	$(-1, -2)$	$-2$
	$(0, \infty, \infty, \dots)$	$-(1, 1, 2, \dots)$	$(1, 2)$	$-2$

- $10_{79}, 10_{80}$

knot	$I$	$d(I)$	$(v(M), v(L))$	boundary slope
$10_{79}$	$(0, 1, 1, \dots)$	$(2, 3, 3, \dots)$	$(-3, -10)$	$-10/3$
	$(14$ $\text{ideal}$	$(\infty, 0, \infty, \dots)$	$-(2, 1, 1, \dots)$	$0$
	$\text{tet.})$	$(0, \infty, 1, 1, \dots)$	$(1, 1, 1, \dots)$	$0$
		$(0, 1, \infty, \dots)$	$-(1, 1, 2, \dots)$	$10/3$
		$(\infty, \infty, \infty, \dots)$	$(2, 1, 2, \dots)$	$6$
$10_{80}$	$(0, 0, 0, \dots)$	$-(1, 3, 1, \dots)$	$(-2, -26)$	$-13$
	$(14$ $\text{ideal}$	$(0, \infty, 0, \dots)$	$(1, 1, 1, \dots)$	$-8$
	$\text{tet.})$	$(1, 1, 0, \dots)$	$(1, 4, 2, \dots)$	$-20/3$
		$(\infty, 0, \infty, \dots)$	$-(2, 3, 2, \dots)$	$-20/3$
		$(1, \infty, 0, \dots)$	$(1, 2, 1, \dots)$	$-2$
		$(0, \infty, \infty, \dots)$	$-(1, 1, 2, \dots)$	$-2$

### Fact

- It is known that all alternating Montesinos knots have only even boundary slopes.

## More examples...

knot	$I$	$d(I)$	$(v(M), v(L))$	boundary slope
$8_{16}$	$(\infty, 1, 1, 1, \infty, \infty, 0, 0, 1, \infty, 0)$	$-(1, 2, 1, 1, 1, 1, 1, 1, 1, 1, 1, 1)$	$(-1, 2)$	2
	$(1, \infty, \infty, 0, \infty, \infty, 1, 0, 0, 1, 1)$	$(1, 1, 1, 2, 1, 1, 1, 1, 1, 1, 1, 1)$	$(1, -2)$	2
	$(1, \infty, 1, \infty, \infty, 0, \infty, 0, 0, 0, \infty)$	$(2, 2, 1, 2, 1, 1, 2, 1, 1, 1, 1, 1)$	$(1, -6)$	6
	$(1, 0, 1, 1, 0, \infty, 0, 0, \infty, 0, \infty)$	$-(1, 2, 2, 2, 1, 1, 1, 1, 2, 1, 1, 1)$	$(-1, 6)$	6
	$(1, \infty, 1, \infty, 0, \infty, 1, 0, 0, 0, \infty)$	$(3, 4, 2, 4, 1, 4, 1, 1, 2, 1, 3)$	$(1, -16)$	16
	$(1, 0, 1, 1, \infty, 0, 0, 0, 1, 0, \infty)$	$-(2, 4, 3, 4, 4, 1, 2, 1, 1, 3, 1)$	$(-1, 16)$	16
$8_{17}$	$(0, 1, \infty, \infty, \infty, 0, 0, \infty, 1, \infty, \infty, 1)$	$-(4, 4, 1, 3, 1, 2, 2, 3, 1, 3, 1, 2)$	$(-1, -14)$	$-14$
	$(\infty, \infty, 1, 0, 0, \infty, \infty, 1, \infty, 0, 1, \infty)$	$(3, 1, 3, 4, 2, 1, 2, 1, 2, 1, 1, 1)$	$(1, 14)$	$-14$
	$(\infty, 0, 0, 0, \infty, 1, 0, 0, 0, \infty, 0, 1)$	$(1, 1, 1, 1, 1, 1, 1, 3, 1, 1, 2, 1)$	$(1, -2)$	2
	$(0, 0, \infty, 0, 0, 1, \infty, 1, 1, \infty, 0, 0)$	$(5, 2, 3, 2, 1, 3, 4, 2, 4, 3, 1, 3)$	$(-1, 14)$	$14$
	$(\infty, \infty, 0, \infty, 1, \infty, 0, 0, 0, 0, \infty, 1)$	$-(3, 3, 4, 3, 1, 1, 2, 1, 2, 4, 2, 1)$	$(1, -14)$	14
$8_{18}$	$(\infty, \infty, \infty, 1, \infty, 1, \infty, \infty, 0, \infty, 0, 0, 0)$	$(3, 2, 3, 1, 4, 3, 1, 1, 1, 3, 2, 1, 1)$	$(-1, -14)$	$-14$
	$(0, 0, 1, 1, 1, \infty, \infty, 0, 0, 1, \infty, 0, 0)$	$-(2, 3, 2, 1, 1, 3, 1, 4, 1, 3, 3, 1, 1)$	$(1, 14)$	$-14$
	$(0, 1, 0, \infty, 1, \infty, 1, 0, \infty, \infty, 0, \infty, 0)$	$-(1, 1, 4, 2, 3, 1, 1, 3, 2, 2, 2, 6, 3)$	$(1, 14)$	$-14$
	$(0, 1, 1, 1, 1, \infty, 0, 1, \infty, 0, \infty, \infty, 0)$	$-(1, 1, 2, 4, 1, 3, 3, 1, 1, 2, 2, 3, 1)$	$(1, 14)$	$-14$
	$(0, 0, \infty, 1, 1, 0, 1, 0, \infty, \infty, 1, \infty, 1)$	$-(1, 1, 2, 2, 2, 1, 2, 4, 3, 2, 3, 1, 2)$	$(1, 14)$	$-14$
	$(\infty, \infty, 0, 0, 0, 0, 0, \infty, 0, \infty, 0, 0, \infty)$	$(2, 2, 1, 1, 1, 2, 3, 1, 4, 3, 1, 1, 3)$	$(-1, -14)$	$-14$
	$(0, 1, 0, 0, \infty, \infty, 1, \infty, 1, \infty, 0, 0, \infty)$	$(2, 4, 1, 2, 3, 2, 1, 3, 2, 1, 1, 3, 6)$	$(-1, -14)$	$-14$
	$(1, 0, \infty, 0, \infty, \infty, 1, \infty, 0, 0, 0, 1, \infty)$	$(3, 2, 1, 3, 4, 2, 2, 2, 2, 1, 1, 2, 1)$	$(-1, -14)$	$-14$
	$(0, 0, \infty, \infty, 1, 0, \infty, 0, \infty, 1, \infty, 0, 1)$	$-(2, 2, 2, 1, 3, 3, 4, 1, 1, 1, 1, 1, 3, 1)$	$(-1, 14)$	$14$
	$(\infty, 0, \infty, 0, \infty, 1, \infty, \infty, 1, 0, 0, 1, 0)$	$(1, 2, 2, 1, 1, 1, 4, 3, 1, 3, 2, 1, 3)$	$(1, -14)$	14
	$(\infty, \infty, 0, \infty, 0, 1, 0, 0, 0, \infty, 0, 1, 0)$	$(6, 2, 2, 1, 1, 2, 1, 1, 1, 2, 2, 1, 3)$	$(1, -14)$	14
	$(1, 1, 0, 0, \infty, \infty, 1, \infty, 1, 0, \infty, 1, 0)$	$(1, 2, 4, 3, 2, 3, 3, 3, 1, 1, 2, 1)$	$(1, -14)$	14
	$(1, 1, 0, \infty, 1, 0, 0, 1, \infty, 0, 0, \infty, 0)$	$-(1, 1, 1, 2, 2, 1, 1, 3, 3, 2, 2, 4, 1)$	$(-1, 14)$	14
	$(\infty, 1, 0, \infty, 1, 0, 1, 0, \infty, \infty, 1, 0, 1)$	$-(1, 4, 2, 3, 3, 1, 3, 2, 3, 3, 1, 1, 2)$	$(-1, 14)$	14
	$(0, 1, 1, 1, \infty, \infty, 0, 1, 1, 1, \infty, 0, 1)$	$-(2, 2, 2, 1, 1, 2, 1, 1, 1, 2, 6, 3, 1)$	$(-1, 14)$	14
	$(0, 1, 0, 0, 0, 0, 0, \infty, 1, 0, 1, 0, \infty)$	$(2, 1, 1, 3, 3, 2, 1, 2, 2, 1, 1, 1, 4)$	$(1, -14)$	14

knot	$I$	$d(I)$	$(v(M), v(L))$	boundary slope
10 <sub>79</sub>	(0, 1, 1, 1, 0, $\infty$ , 0, 1, $\infty$ , ...)	(2, 3, 3, 3, 2, 2, 1, 2, 1, 4, 1, 4, 3, 5)	(-3, -10)	-10/3
	( $\infty$ , 0, $\infty$ , 1, $\infty$ , $\infty$ , $\infty$ , ...)	-(2, 1, 1, 2, 2, 1, 1, 2, 1, 2, 2, 1, 1, 1)	(1, 0)	0
	(0, $\infty$ , 1, 1, $\infty$ , 0, 1, $\infty$ , ...)	(1, 1, 1, 1, 2, 2, 1, 1, 2, 1, 1, 1, 1, 2)	(1, 0)	0
	(0, 1, $\infty$ , $\infty$ , $\infty$ , 1, 0, ...)	-(1, 1, 2, 1, 2, 5, 3, 5, 2, 2, 2, 1, 1, 2)	(-3, 10)	10/3
	( $\infty$ , $\infty$ , $\infty$ , 1, $\infty$ , $\infty$ , $\infty$ , 0, ...)	(2, 1, 2, 1, 2, 1, 1, 2, 1, 3, 3, 1, 1, 2)	(1, -6)	6
10 <sub>80</sub>	(0, 0, 0, 1, 1, 0, 1, ...)	-(1, 3, 1, 3, 5, 1, 3, 1, 2, 1, 2, 3, 2, 1)	(-2, -26)	-13
	(0, $\infty$ , 0, $\infty$ , $\infty$ , $\infty$ , 0, 1, ...)	(1, 1, 1, 1, 1, 2, 1, 1, 1, 1, 2, 1, 1)	(1, 8)	-8
	(1, 1, 0, $\infty$ , $\infty$ , $\infty$ , 0, ...)	(1, 4, 2, 3, 5, 3, 8, 4, 2, 3, 1, 2, 3, 1)	(3, 20)	-20/3
	( $\infty$ , 0, $\infty$ , 1, 1, $\infty$ , 1, 1, ...)	-(2, 3, 2, 3, 6, 1, 9, 1, 3, 4, 1, 5, 5, 2)	(-3, -20)	-20/3
	(1, $\infty$ , 0, 0, 1, 1, 1, 1, ...)	(1, 2, 1, 2, 1, 1, 2, 3, 1, 3, 1, 1, 1, 1)	(-1, -2)	-2
	(0, $\infty$ , $\infty$ , $\infty$ , $\infty$ , $\infty$ , 0, ...)	-(1, 1, 2, 1, 1, 2, 1, 2, 1, 4, 1, 2, 1, 1)	(1, 2)	-2
10 <sub>82</sub>	(0, $\infty$ , $\infty$ , 0, 1, 0, 0, ...)	-(7, 3, 5, 1, 1, 5, 2, 1, 1, 7, 3, 3, 2)	(-2, -26)	-13
	(1, 0, 0, $\infty$ , $\infty$ , $\infty$ , 0, ...)	(1, 5, 1, 2, 2, 3, 2, 1, 1, 3, 7, 2, 3)	(2, 26)	-13
	(0, 0, 0, $\infty$ , $\infty$ , $\infty$ , 0, ...)	(1, 3, 1, 1, 1, 2, 2, 1, 1, 2, 6, 1, 2)	(1, 12)	-12
	(0, $\infty$ , $\infty$ , $\infty$ , 1, 0, 0, ...)	-(4, 2, 3, 1, 1, 3, 2, 1, 1, 6, 2, 2, 1)	(-1, -12)	-12
	(0, 0, $\infty$ , 1, 1, $\infty$ , 0, ...)	-(4, 2, 2, 1, 1, 1, 2, 1, 1, 1, 5, 1, 1)	(1, -2)	2
	( $\infty$ , 1, 1, $\infty$ , 0, 0, 0, ...)	(1, 1, 1, 4, 1, 1, 2, 1, 1, 5, 1, 1, 1)	(-1, 2)	2
	(1, 1, $\infty$ , $\infty$ , 1, $\infty$ , 1, ...)	-(1, 4, 1, 3, 2, 3, 2, 1, 1, 3, 3, 3, 2)	(-1, 6)	6
	(0, $\infty$ , 0, 1, 1, 1, 0, ...)	-(3, 2, 1, 2, 2, 1, 2, 1, 1, 1, 3, 1, 1)	(1, -6)	6
	(0, $\infty$ , 1, 1, 0, 0, 0, ...)	(4, 1, 2, 5, 1, 2, 2, 1, 1, 3, 4, 2, 3)	(1, -14)	14
	(1, 1, $\infty$ , $\infty$ , 1, $\infty$ , 0, ...)	-(1, 4, 1, 7, 2, 3, 2, 1, 1, 7, 3, 3, 2)	(-1, 14)	14
10 <sub>85</sub>	(0, $\infty$ , 0, $\infty$ , $\infty$ , 0, 0, ...)	-(6, 2, 2, 2, 8, 4, 6, 10, 2, 6, 6, 2, 4)	(-2, -40)	-20
	(1, 0, 1, 0, $\infty$ , $\infty$ , 1, ...)	(3, 2, 1, 4, 2, 2, 1, 1, 1, 3, 1, 5, 1)	(2, 30)	-15
	(1, 0, 1, 0, $\infty$ , $\infty$ , 0, ...)	(2, 2, 1, 3, 2, 1, 1, 2, 1, 2, 2, 3, 1)	(1, 14)	-14
	(1, 0, 1, $\infty$ , 0, $\infty$ , 0, ...)	-(1, 2, 1, 1, 1, 1, 4, 3, 1, 1, 3, 1, 2)	(1, 2)	-2
10 <sub>90</sub>	(0, 1, 1, 0, 0, $\infty$ , 1, ...)	-(2, 1, 1, 5, 2, 3, 2, 4, 2, 1, 1, 1, 2, 1, 3)	(-2, -14)	-7
	(0, $\infty$ , $\infty$ , $\infty$ , $\infty$ , 0, 1, ...)	(1, 4, 1, 3, 6, 2, 1, 3, 1, 1, 1, 2, 1, 1, 7)	(1, -12)	12
	(0, 1, 1, $\infty$ , 0, 0, 1, ...)	-(3, 2, 1, 3, 1, 2, 1, 1, 1, 1, 1, 6, 6, 6, 1)	(-1, 12)	12
	(0, 1, 1, $\infty$ , 0, 0, 1, ...)	(3, 2, 1, 3, 1, 2, 1, 1, 1, 1, 2, 6, 7, 5, 1)	(-1, 18)	18
	(0, $\infty$ , $\infty$ , $\infty$ , $\infty$ , 0, 1, ...)	-(1, 4, 1, 3, 6, 2, 1, 3, 1, 2, 2, 1, 1, 1, 10)	(1, -18)	18

knot	$I$	$d(I)$	$(v(M), v(L))$	boundary slope
10 <sub>91</sub>	(0, $\infty$ , $\infty$ , 1, 0, 0, $\infty$ , ...)	(1, 5, 3, 1, 1, 4, 11, 4, 7, 1, 1, 3, 6, 2, 5)	(-1, -26)	-26
	(1, 1, 1, 0, $\infty$ , 0, 0, ...)	-(4, 8, 5, 3, 2, 5, 1, 3, 6, 14, 1, 3, 8, 4, 1)	(1, 26)	-26
	( $\infty$ , $\infty$ , $\infty$ , 0, $\infty$ , 0, 1, ...)	(1, 2, 1, 1, 1, 1, 1, 2, 2, 1, 1, 1, 1, 1)	(-1, 2)	2
	(1, 1, 1, 0, $\infty$ , 0, $\infty$ , ...)	(1, 3, 2, 2, 2, 1, 3, 1, 1, 1, 1, 1, 1, 1)	(-1, 6)	6
	(1, 0, 1, 0, 0, 0, 0, ...)	-(2, 2, 3, 1, 4, 1, 1, 1, 2, 1, 2, 1, 1, 1)	(1, -6)	6
	(1, 0, 1, 0, 0, 0, 0, ...)	(3, 4, 2, 2, 3, 1, 2, 1, 1, 1, 6, 4, 1, 2)	(1, -10)	10
	(1, 0, 1, 0, 0, 0, 0, ...)	-(3, 4, 5, 2, 6, 1, 2, 1, 2, 1, 1, 5, 4, 1, 3)	(1, -16)	16
10 <sub>93</sub>	(1, 0, $\infty$ , $\infty$ , $\infty$ , 1, 1, ...)	(2, 1, 3, 1, 1, 2, 1, 1, 1, 2, 1, 1, 1)	(-1, 2)	2
10 <sub>94</sub>	( $\infty$ , 1, 0, $\infty$ , 1, 0, 0, ...)	-(2, 1, 2, 4, 1, 1, 1, 1, 2, 1, 1, 1, 1)	(1, -6)	6
	( $\infty$ , 1, 0, 1, $\infty$ , 0, 0, ...)	(3, 9, 2, 1, 10, 5, 3, 4, 1, 8, 1, 3, 5, 4)	(-1, 28)	28
10 <sub>98</sub>	(0, $\infty$ , 1, 0, $\infty$ , 1, 0, 1, ...)	(2, 1, 1, 1, 2, 1, 1, 1, 2, 2, 1, 1, 2, 1, 1)	(1, 4)	-4
10 <sub>100</sub>	( $\infty$ , 0, 0, 1, 1, $\infty$ , 0, ...)	(2, 1, 1, 1, 1, 2, 4, 1, 1, 2, 1, 1, 1, 1)	(-1, -12)	-12
	( $\infty$ , 0, 0, $\infty$ , 1, 0, 1, ...)	-(2, 1, 1, 1, 1, 1, 1, 2, 1, 1, 2, 1, 4, 1)	(1, 12)	-12
	( $\infty$ , 0, 0, 0, 1, $\infty$ , 0, ...)	-(2, 1, 1, 1, 2, 2, 4, 1, 1, 1, 2, 2, 1, 4)	(-1, -6)	-6
	( $\infty$ , 0, 0, $\infty$ , 0, 0, 1, ...)	(2, 1, 1, 4, 2, 1, 1, 2, 1, 2, 1, 2, 4, 1)	(1, 6)	-6
10 <sub>102</sub>	( $\infty$ , 1, $\infty$ , 1, 0, $\infty$ , $\infty$ , ...)	(1, 2, 2, 2, 1, 1, 3, 1, 1, 2, 4, 3, 5, 1, 1)	(-2, -2)	-1
	(0, $\infty$ , $\infty$ , 1, 1, 0, 0, ...)	-(4, 1, 3, 1, 3, 1, 6, 1, 1, 2, 1, 3, 6, 1, 1)	(1, -12)	12
	( $\infty$ , 0, 1, 1, 1, 0, ...)	(1, 4, 1, 1, 3, 3, 1, 1, 6, 2, 1, 1, 4, 1, 3)	(-1, 12)	12
	(0, $\infty$ , $\infty$ , 1, 1, 0, ...)	(3, 1, 3, 1, 3, 1, 9, 2, 1, 2, 1, 3, 6, 1, 1)	(1, -18)	18
	( $\infty$ , 0, 1, 1, 1, 1, 0, $\infty$ , ...)	-(1, 4, 1, 1, 3, 3, 1, 1, 5, 2, 1, 1, 4, 2, 6)	(-1, 18)	18
10 <sub>103</sub>	( $\infty$ , 1, $\infty$ , 1, 0, $\infty$ , 0, ...)	-(3, 1, 4, 4, 2, 1, 1, 4, 4, 3, 2, 1, 1, 3, 2)	(-1, -20)	-20
	(0, $\infty$ , 0, 0, $\infty$ , 1, 0, ...)	(2, 2, 2, 3, 1, 1, 3, 4, 4, 2, 1, 2, 1, 1, 3)	(1, 20)	-20
	( $\infty$ , 1, $\infty$ , 1, $\infty$ , 1, 0, ...)	(2, 1, 2, 4, 1, 1, 1, 4, 4, 3, 2, 1, 1, 3, 2)	(-1, -14)	-14
	(0, $\infty$ , $\infty$ , 0, 1, 1, 0, ...)	-(2, 2, 1, 1, 1, 2, 3, 4, 4, 2, 1, 2, 1, 1, 3)	(1, 14)	-14
	( $\infty$ , 1, $\infty$ , 1, 0, $\infty$ , 0, ...)	(1, 1, 1, 1, 2, 1, 1, 1, 2, 1, 1, 1, 1, 1, 1)	(-1, -12)	-12
	( $\infty$ , 1, $\infty$ , 1, 0, $\infty$ , $\infty$ , ...)	-(2, 1, 2, 2, 2, 1, 1, 2, 1, 1, 1, 1, 1, 1, 1)	(-1, -6)	-6
	(0, 1, 0, $\infty$ , $\infty$ , 0, 0, ...)	(1, 1, 1, 1, 1, 1, 2, 1, 1, 3, 1, 1, 1, 2)	(1, 6)	-6
10 <sub>104</sub>	(0, 1, 0, 0, 1, 1, 0, ...)	-(1, 2, 1, 3, 1, 2, 1, 1, 1, 2, 3, 1, 1, 1, 1)	(-1, 6)	6
	( $\infty$ , $\infty$ , 1, $\infty$ , 0, $\infty$ , 0, ...)	-(1, 1, 2, 1, 1, 3, 2, 1, 6, 1, 1, 1, 3, 5, 3)	(1, -10)	10
	( $\infty$ , 0, 0, 0, $\infty$ , $\infty$ , 0, ...)	(1, 2, 1, 3, 1, 1, 2, 1, 1, 6, 3, 3, 4, 1)	(-1, 10)	10
	( $\infty$ , 1, 0, 0, 1, $\infty$ , 0, ...)	(2, 3, 1, 5, 1, 1, 2, 3, 1, 2, 2, 1, 1, 1, 2)	(-1, 14)	14
	( $\infty$ , 0, 0, 0, 1, $\infty$ , 0, ...)	-(1, 2, 1, 2, 1, 1, 2, 1, 1, 2, 9, 3, 3, 5, 1)	(-1, 16)	16
	( $\infty$ , $\infty$ , 1, $\infty$ , $\infty$ , $\infty$ , 0, ...)	(1, 1, 5, 1, 2, 3, 2, 1, 5, 1, 1, 1, 3, 6, 3)	(1, -16)	16

knot	$I$	$d(I)$	$(v(M), v(L))$	boundary slope
$10_{106}$	$(0, 1, 1, \infty, 0, \infty, 1, \dots)$	$-(1, 2, 1, 3, 2, 1, 2, 1, 4, 1, 3, 1, 3, 3, 1)$	$(1, 14)$	$-14$
	$(1, 1, 0, 0, 1, \infty, 0, \dots)$	$(8, 2, 2, 1, 6, 1, 7, 3, 1, 3, 1, 1, 2, 4, 2)$	$(-1, -14)$	$-14$
	$(1, 1, \infty, 0, 1, 1, 0, \dots)$	$-(5, 2, 1, 1, 5, 1, 4, 3, 1, 3, 1, 1, 2, 4, 2)$	$(-1, -8)$	$-8$
	$(1, \infty, 0, 0, 1, \infty, 0, \dots)$	$-(2, 1, 2, 1, 3, 1, 2, 1, 1, 1, 1, 2, 1, 1, 1)$	$(-1, -6)$	$-6$
	$(1, 0, 0, 0, 1, \infty, \infty, \dots)$	$(3, 3, 2, 1, 3, 1, 2, 3, 3, 3, 2, 5, 5, 1, 3)$	$(-3, -4)$	$\textcolor{red}{-4/3}$
	$(\infty, 1, 0, 0, \infty, \infty, 0, \dots)$	$-(4, 3, 4, 1, 2, 1, 4, 12, 2, 1, 2, 4, 3, 3, 3)$	$(3, 4)$	$\textcolor{red}{-4/3}$
	$(1, \infty, 0, 0, 0, \infty, 0, \dots)$	$(1, 1, 1, 1, 1, 1, 2, 1, 2, 2, 2, 1, 1, 2, 1)$	$(-1, 6)$	$6$
	$(1, \infty, 0, 0, 1, \infty, 0, \dots)$	$(1, 1, 2, 1, 1, 1, 2, 2, 1, 1, 1, 2, 1, 1, 2)$	$(-1, 6)$	$6$
$10_{108}$	$(0, \infty, 0, \infty, 0, 0, \infty, \dots)$	$(3, 1, 1, 2, 1, 3, 1, 1, 1, 3, 2, 2, 1, 1)$	$(1, 2)$	$-2$
	$(0, 0, 1, \infty, 1, 1, \infty, \dots)$	$(1, 1, 1, 1, 2, 2, 1, 1, 1, 1, 3, 1, 1, 2)$	$(-1, 0)$	$0$
	$(\infty, \infty, \infty, \infty, \infty, 0, \dots)$	$(1, 1, 2, 1, 1, 3, 2, 1, 1, 1, 5, 1, 2, 2)$	$(2, -22)$	$\textcolor{red}{11}$
	$(1, \infty, 0, \infty, 1, 0, 1, \dots)$	$-(3, 1, 6, 2, 1, 1, 1, 2, 1, 2, 2, 2, 2, 1)$	$(-2, 22)$	$\textcolor{red}{11}$

knot	$I$	$d(I)$	$(v(M), v(L))$	boundary slope
$10_{106}$	$(0, 1, 1, \infty, 0, \infty, 1, \dots)$	$-(1, 2, 1, 3, 2, 1, 2, 1, 4, 1, 3, 1, 3, 3, 1)$	$(1, 14)$	$-14$
	$(1, 1, 0, 0, 1, \infty, 0, \dots)$	$(8, 2, 2, 1, 6, 1, 7, 3, 1, 3, 1, 1, 2, 4, 2)$	$(-1, -14)$	$-14$
	$(1, 1, \infty, 0, 1, 1, 0, \dots)$	$-(5, 2, 1, 1, 5, 1, 4, 3, 1, 3, 1, 1, 2, 4, 2)$	$(-1, -8)$	$-8$
	$(1, \infty, 0, 0, 1, \infty, 0, \dots)$	$-(2, 1, 2, 1, 3, 1, 2, 1, 1, 1, 1, 2, 1, 1, 1)$	$(-1, -6)$	$-6$
	$(1, 0, 0, 0, 1, \infty, \infty, \dots)$	$(3, 3, 2, 1, 3, 1, 2, 3, 3, 3, 2, 5, 5, 1, 3)$	$(-3, -4)$	$-4/3$
	$(\infty, 1, 0, 0, \infty, \infty, 0, \dots)$	$-(4, 3, 4, 1, 2, 1, 4, 12, 2, 1, 2, 4, 3, 3, 3)$	$(3, 4)$	$-4/3$
	$(1, \infty, 0, 0, 0, \infty, 0, \dots)$	$(1, 1, 1, 1, 1, 1, 2, 1, 2, 2, 2, 1, 1, 2, 1)$	$(-1, 6)$	$6$
	$(1, \infty, 0, 0, 1, \infty, 0, \dots)$	$(1, 1, 2, 1, 1, 1, 2, 2, 1, 1, 1, 2, 1, 1, 2)$	$(-1, 6)$	$6$
$10_{108}$	$(0, \infty, 0, \infty, 0, 0, \infty, \dots)$	$(3, 1, 1, 2, 1, 3, 1, 1, 1, 3, 2, 2, 1, 1)$	$(1, 2)$	$-2$
	$(0, 0, 1, \infty, 1, 1, \infty, \dots)$	$(1, 1, 1, 1, 2, 2, 1, 1, 1, 1, 3, 1, 1, 2)$	$(-1, 0)$	$0$
	$(\infty, \infty, \infty, \infty, \infty, 0, \dots)$	$(1, 1, 2, 1, 1, 3, 2, 1, 1, 1, 5, 1, 2, 2)$	$(2, -22)$	$11$
	$(1, \infty, 0, \infty, 1, 0, 1, \dots)$	$-(3, 1, 6, 2, 1, 1, 1, 2, 1, 2, 2, 2, 2, 1)$	$(-2, 22)$	$11$

おわり